

信州大学工学部 草間孝志

(1) 要旨 連続基礎などの地盤上の桁はいか程の荷重まで耐えることができるのか不明確な点が多い、このような桁の崩壊荷重を求めることは設計上有意義なことと考えられる。それには地盤上の桁はどのような経過をたどって崩壊に到達するのか、地盤ならびに行の性質と崩壊荷重とはどのような関係にあるであろうかが問題となる。これらの問題を少しでも明らかにすることによって、構造物の設計に際し、構造計画を上部構造基礎構造の両者をふくめた全体的な計画に近づけることができるものと考えられる。しかしながら地盤は非常に複雑な性質を有するものであつて、取扱いにくい問題があまりにも多い。本報告は一つの試みとしてまず地盤を理想化し、その理想化した地盤上の桁に单一荷重が作用したときの崩壊に至る経過と崩壊荷重を計算したものである。

(2) 假定 桁は完全弾塑性体であるものとし、せん断力の影響は無視する。地盤に対しては、載荷試験の結果によると、締めた砂質土ならびに硬い粘性土の場合には荷重沈下曲線は図-1の曲線(A)のようになり、ゆるい砂質土ならびに軟かい粘土の場合には図-1の曲線(B)のようになるといわれている。一方弾性地盤上の桁に働く接地圧は取扱いが簡単でかつ比較的よく合うことより、接地圧は沈下量に比例するというWinklerの仮定のもとに広く取扱われている。そこで地盤には負の反力を生じないことを考慮して、地盤は次のような性質を有するものと仮定した

- $y \geq 0$ にして  $\eta \leq 0$ なるときには、地盤はWinkler地盤とする。
- $\eta \geq 0$ に達するとその点の地盤は塑性状態となり、以後の荷重の増加に対しては、その点における  $\eta$ は  $\eta_0$ より大となることはない。
- $y \leq 0$ なるときには常に  $\eta = 0$ である。(図-2)

なお、こゝに示した計算は桁の自重を無視し、かつ桁はその両端で  $y = 0$  が常に成立つ程度に長いものとした場合である。

(3) 崩壊に至る経過 曲げ剛さ  $EI$ 、接地半径  $B$ 、全塑性モーメント  $M_0$  の、かなり長い桁が、図-3に示すように地盤係数  $\lambda$  ( $\text{kg/cm}^2$ )、極限支持力  $P_0$  の地盤上にあり、単一荷重  $P$  が働いているものとする。桁ならびに地盤が弹性限界内にあるときの桁の接地長さ  $2l$ 、最大地盤反力を  $B\eta_0$ 、最大モーメント  $M_0$  はそれぞれ次のようになる。

$$2l = \pi/\lambda, \quad P_c = \frac{P\lambda}{2B} \coth \frac{\pi\lambda}{2} = 0.545 P\lambda/B, \quad M_0 = \frac{P}{4\lambda} \coth \frac{\pi\lambda}{2} = 0.273 P\lambda$$

ここに  $\lambda = \sqrt{BR_0/4EI}$  である。荷重の増加に伴い C 点が  $M_0$  に達したとするときの  $P$  と  $\eta_0$  は

$$P = 4\lambda M_0 \tanh \frac{\pi\lambda}{2} = 3.669 \lambda M_0, \quad \eta_0 = 2\lambda^2 M_0/B$$

となる。いま極限支持力  $P_0$  を  $P_0 = \gamma_0 \lambda^2 M_0/B$  とおくと、 $\gamma_0 = BP_0/\lambda^2 M_0$  となつておれば桁と地盤の性質によつて求まる定数である。そして  $\eta_0$  と  $\eta_0$ との比較により次のような関係が得られる。

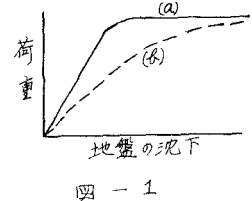


図-1

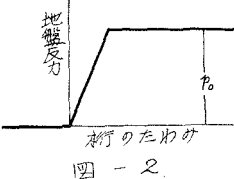


図-2

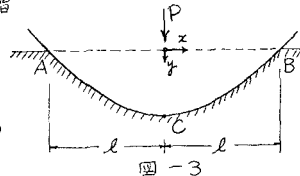


図-3

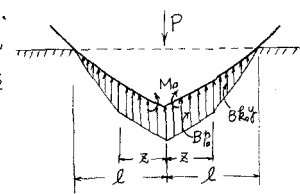


図-4

i)  $\gamma_0 > 2$ なるときには C奥にて地盤よりさきに杭が降伏する。

ii)  $\gamma_0 < 2$ なるときには C奥にて杭よりさきに地盤が降伏する。

iii)  $\gamma_0 = 2$ なるときには C奥にて地盤と杭が同時に降伏する。

以下  $\gamma_0 \neq 2$ に対して崩壊までの計算を行った。計算に用いた記号を記すと  $\alpha, \beta, \gamma$  を係数とし、  $P = \alpha \lambda M_0, M = \beta M_0, p = \gamma \lambda^* M_0 / B$  といつたとき、  $M_0$  が  $M$  になったときの  $\alpha$  を  $\alpha_1$ 、  $\lambda$  が  $\lambda_0$  になったときの  $\alpha$  を  $\alpha_2$  とし、 崩壊時の  $\alpha, l, \lambda$  及び  $\alpha_u, \lambda_u, \lambda_{u0}$  を定めた。なお  $\lambda$  は地盤の塑性領域の長さである(図-4)。図-5に  $\gamma, M$  図の一例を示した。

図より塑性ヒンジは C奥のみに生ずることがわかる。  $P$  と  $l$ ,  $\lambda$ ,  $P$  と  $\gamma_0$  の関係を図-6, 7に示した。図中の曲線に附した (a) (b) (c) --- なる記号は、それを表-1に示す場合の曲線である。

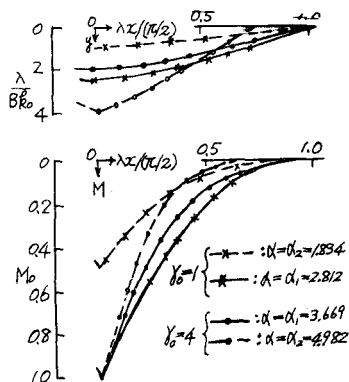


図-5

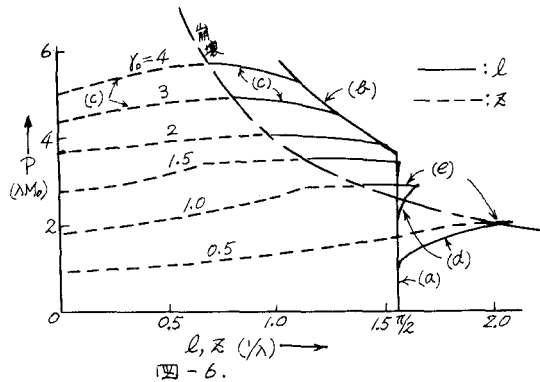


図-6.

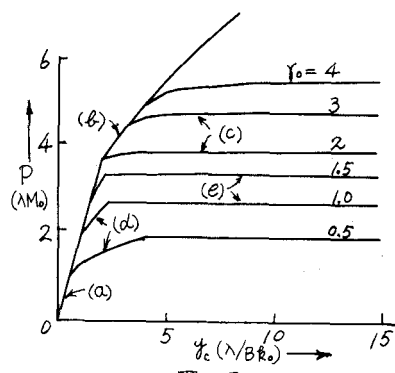


図-7.

表-1 図-6, 7における曲線記号の説明

曲線記号	$\gamma_0 > 2$ の場合 ( $\alpha_1 < \alpha_2 < \alpha_u$ )	曲線記号	$\gamma_0 < 2$ の場合 ( $\alpha_2 < \alpha_1 < \alpha_u$ )
(a)	$\alpha \leq \alpha_1 = 3.669$	(a)	$\alpha \leq \alpha_2 = 3.669 \gamma_0/2$
(b)	$\alpha_1 \leq \alpha \leq \alpha_2$	(d)	$\alpha_2 \leq \alpha \leq \alpha_1$
(c)	$\alpha_2 \leq \alpha \leq \alpha_u$	(e)	$\alpha_1 \leq \alpha \leq \alpha_u$

(4) 崩壊荷重 杭が不安定になる条件は  $l \rightarrow \infty$  によって与えられ、C奥に塑性ヒンジがあり、かつ  $2l$  全体にわたって  $p = p_0$  なる状態を考えればよい。これより次式を得る

$$\lambda l u = \lambda \bar{u} = \sqrt{2/\gamma_0}, \quad \alpha_u = \sqrt{8/\gamma_0}.$$

図-6の崩壊と記した曲線および図-8の  $\alpha_u$  曲線はこれを表したものである。

(5) 結び 地盤は非常に複雑な性質を有する。後で単純化仮定のもとに行なった計算が果してどの程度合うか疑問ではあるが、一応一般的な傾向をつかむことはできよう。

有益なるお批判とお助言を戴いた 名古屋大学成岡昌夫教授、信州大学吉田俊弥教授、名古屋大学福本勝士助教授に心から感謝致します。なお計算には当学部 FACOM 231 電子計算機を用いた。

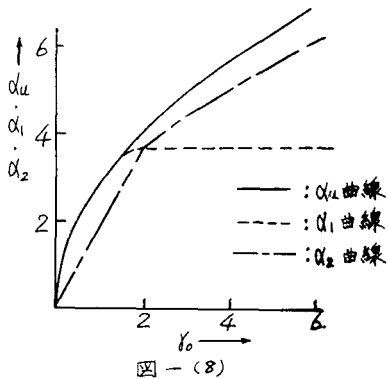


図-8